



دراسة نظرية لمشتقات كابتوبريل كأدوية محتملة باستخدام طرق ميكانيك الكم

أ.د. رمزي رشيد العاني
كلية العلوم / الجامعة المستنصرية
م.م. كوثر عماد مهدي
كلية التربية الأساسية / الجامعة المستنصرية
Kawtheremad@uomustansiriyah.edu.iq

مستخلص البحث :

تضمن البحث استعمال احدى طرائق حسابات ميكانيك الكم التقريبية شبه التجريبية – Semi empirical (PM3, AM1) وباستخدام برنامج الحساب Hyper chem. 8.08 وذلك لحساب الشكل الهندسي التوازني لدواء كابتوبريل المستخدم لعلاج ارتفاع ضغط الدم المزمن . وبعد ذلك تم اختيار عدد من مشتقات هذا العقار:

(R= -NH₂, -O, -CL, -S, -OH) التي لم تختر كعاقير لحد الآن، ودراستها نظرياً ومقارنة النتائج مع العقار الأصلي لمعرفة صلاحية استخدامها كعاقير أن جميع المشتقات للعقار أعلاه غير مدرrosة نظرياً بطريقة شبه التجريبية Semi –empirical (PM3 , AM1) (PM3 ، AM1) وغير مدرrosة تجريبياً . تمت دراسة الصفات الفيزيائية لهذه المشتقات عند الشكل الهندسي التوازني كطول الأصرة والسعـة الحراريـة، والانثـالبيـ، والطاقة الكلـية، وعزم ثـنـائـي القـطبـ، وطاقة أعلى مدار الكتروني محجوز بالاكترونـات EHOMO ، وطاقة أوـطـى مدار الكتروني غير محجوز بالاكترونـات ELUMO والفرق الطـاقي بينـهما $\Delta E = ELUMO - EHOMO$. وتم حـساب تـرـددـاتـ الـأـهـتزـازـ، وـشـدـةـ اـمـتـصـاصـ طـيفـ الـأـشـعـةـ تـحـتـ الـحـمـراءـ لـجـمـيعـ الـمـشـقـاتـ المـحـسـوـبةـ عـنـدـ الشـكـلـ الـهـنـدـسـيـ التـواـزـنـيـ . فقد أـشـرـتـ الـدـرـاسـةـ الـنـظـرـيـةـ بـأـنـ أـفـضـلـ الـمـشـقـاتـ هـمـاـ (R=OH) (R=O) كـأـدـوـيـةـ مـحـتـمـلـةـ . إذـ كـانـتـ نـتـائـجـ الطـاـقـةـ لـلـدـوـاءـ (R=OH) (R=O) كـأـدـوـيـةـ مـحـتـمـلـةـ .

إذـ كـانـتـ نـتـائـجـ الطـاـقـةـ لـلـدـوـاءـ (R=OH) (R=O) كـأـدـوـيـةـ مـحـتـمـلـةـ . أما بالنسبة للمشتقات (E=-62629.2, E=-58152.2, E=-66444.1, E=-61490.5, E=-69385.2) على التوالي . وكانت طاقة التأين للمشتقات (R=OH) (R=O) هي:

(IE=9.4951, 10.80106) (IE=9.893712, 0.542249) على التوالي التي هي أقرب إلى طاقة تأين الدواء الأصلي (IE=9.75162).

وإن قطبية المشتقات كانت (3.22, 3.46, 3.57) على التوالي التي هي الأقرب إلى قطبية جزيئـةـ الدـوـاءـ (3.28, 3.73) وأـشـرـتـ الـأـلـفـةـ الـأـلـكـتـرـوـنـيـةـ نـتـائـجـ مـتـقـارـبـةـ إذـ كـانـتـ لـلـدـوـاءـ (-0.678281, -1.00068) للمشتقات (EA=-0.366886, EA=-0.186862, EA=-0.740074) ؛ لذلك فإن هذين المشتقات (R=OH)(R=O) هما أقرب المشتقات كدوائين محتملين .

هدف البحث :

الهدف في هذه الدراسة اختيار عقار الكابتوبريل المستخدم لعلاج ارتفاع ضغط الدم ودراسته نظرياً باستخدام برنامج chem. 8.08 لمعرفة الخواص الفيزيائية والطاقة لهذا العقار. وبعد ذلك تم اختيار عدد من مشتقات هذا العقار التي سبق تحضيرها لكنها لم تختر كعاقير لحد الآن ودراستها نظرياً ومقارنة النتائج مع العقار لمعرفة صلاحية استخدامها كعاقير واعده.

الكلمات المفتاحية: الطـرـيقـةـ شـبـهـ التجـرـيبـيـةـ،ـ الكـاـبـتوـبـرـيلـ،ـ بـرـنـامـجـ Hyper chem. .



المقدمة

الكيمياء النظرية Theoretical chemistry

تمثل الكيمياء النظرية فرعاً مهماً من فروع الكيمياء، فهي عبارة عن مجموعة من القواعد التي يفترض بها أن تتحكم بسلوك الأنظمة الفيزيائية⁽¹⁾، أي هي توضيحات رياضية للكيمياء وكما نعلم أن مصطلح الكيمياء الحاسوبية بشكل عام يستعمل عند تطوير طائق رياضية يمكن تنفيذها بشكل آلي على الحاسوب⁽²⁾. فذلك عملت الكيمياء النظرية بوساطة الكيمياء الحاسوبية. تُعدُّ الكيمياء الحاسوبية تطبيق للكيمياء ، والفيزياء ، والرياضيات ، والمهارات الحاسوبية لحل المسائل الكيميائية⁽²⁾، فهي تستند بصورة أساسية إلى قوانين الكم، والميكانيك الكلاسيكي⁽³⁻²⁾ والفيزياء الأحصائية والترموديناميك، وابتکار تقریبات ریاضیة ترمی إلى حل المسائل الكيميائیة النظریة بأسرع وقت، وأقل کلفة⁽²⁾. ولهذا تطورت البرامج الحاسوبيةتطوراً كبيراً في السنوات الأخيرة إذ أصبحت الحاسوبات ذات الكفاءة عالية لحساب الخواص بشكل أكثر دقة بحيث تقترب من النتائج العملية^(5,4) ، إذ نستطيع من خلال الكيمياء الحاسوبية معرفة الخصائص الجزيئية كالشكل الهندسي الأكثر استقراراً، وطاقاتها النسبية، والتراكيب الجزيئية ، والخصائص الطيفية وميكانيكيات التفاعل^(7,6,2) ، والترددات الاهتزازية ، وحساب الطاقة الحرية^(7,2) ، والطاقة الداخلية والانثالبي وبالإضافة إلى دراسة التفاعلات، ومحاكاة نتائجها العملية⁽²⁾، وتم الحصول على هذه النتائج من خلال طائق مختلفة .

طائق الحسابات النظرية

Theoretical Calculation methods

الطرق التي تجرى بها الحسابات عادةً أنها تصنف إلى طائق ثلاث *Semi-* *Ab-initio* ()

⁽²⁾ Molecular Mechanics ، empirical
الطرق الحاسوبية التي تم استخدامها في البحث :

Semi- empirical Calculation Methods

مصطلاح *Semi-empirical* يأتي من بعض الحسابات التجريبية (*empirical data*). تعتمد هذه الطريقة على حسابات Hartree - Fock وتعتبر سريعة أسرع من *Ab initio* وتطبق على جزيئات كبيرة وتعطي نتائج دقيقة وهذه الطريقة مفيدة في دراسة تفاعلات المركبات العضوية . وتتضمن عدداً من النماذج المعدلة:-

1- طريقة اوستن (AM₁) Austin Model / version 1

تعد هذه الطريقة أكثر تطوراً في حساب ΔH_f وتسمح بوصف الأصرة الهيدروجينية وحساب عزم ثنائي القطب، والطاقة الألكترونية والصفات التركيبية للجزئيات ، وطاقة التأين، وكذلك حساب طول الأصرة وشد الزاوية⁽⁹⁾.

2- الطريقة البارومترية (PM₃) Parametric Method / version 3

هذه الطريقة هي نسخة مطورة من AM₁ لتجاوز الكثير من المساوى . وتعتمد على تقرير (NDDO) للطريقة شبه التجريبية Semi-empirical ، و إن نموذج PM₃ هو تطوير للماجميع الرئيسية⁽¹⁰⁾ وهي الطريقة التي اعتمدت عليها في هذا البحث.

أنواع الحسابات حسب طريقة (AM₁) SEMI-EMPIRICAL (PM3)

- حسابات Single point لحساب طاقة الجزيئية ، والخواص للشكل الهندسي المرن المعطى.
- حسابات Geometry Optimization تعطي الطاقة الأدنى لتحديد الشكل الأكثر استقرارا.



- 3- حسابات الترددات الأهتزازية Vibrational Frequency تجد صيغة الأهتزازات الطبيعية للشكل المثالي وتظهر الأنطاب الأهتزازية والحركات الأهتزازية مترافقـة مع الـانتـقالـات المـتـحـركـة المـحدـدة والمـعـيـنة .
- 4- الحالـة الـانتـقالـية Transition state تعـين التـراكـيب المستـقرـة المـطـابـقـة إلـى الحالـات الـانتـقالـية باستـعمالـاً مـاـمـاـ eigenvector أوـطـائـقـ العـبـورـ المتـزـامـن synchronous transit methods وتحـسبـ بـعـد ذـلـكـ الخـواـصـ الجـزـيـئـيـة .
- 5- طـيـف UV-Vis مـمـكـنـاـ يـحـسـبـ بـعـدـ اـيجـادـ التـراكـيبـ المـتـداـخـلـةـ لـلـشـكـلـ الـهـندـسـيـ المـثـالـيـ بـيـنـ HOMO أعلىـ اوـرـبـيـتـالـ جـزـيـئـيـ مشـغـولـ (Highest Occupied Molecular Orbital) LUMO أـوـطـيـءـ اوـرـبـيـتـالـ جـزـيـئـيـ شـاغـرـ (Lowest Unoccupied Molecular Orbital)
- 6- حـاسـبـ الكـثـافـةـ الـأـلـكـتروـنـيـة Electron density
- 7- حـاسـبـ Dipole moment
- 8- حـاسـبـ شـحـنـةـ الـأـلـكـتروـنـ Electron charge
- 9- حـاسـبـ التـرـدـدـاتـ الـأـهـتزـازـيـةـ لـأـمـتـصـاصـ طـيـفـ الـأـشـعـةـ تـحـتـ الـحـمـراءـ IR
- 10- حـاسـبـ طـاقـةـ جـهـدـ التـأـيـنـ Ionization potential
- 11- حـاسـبـ الـأـلـفـةـ الـإـلـكـتروـنـيـة Electron affinity التي تـعـرـفـ بـاـنـهـ طـاقـةـ الـلـازـمـةـ لـازـاحـةـ الـكـتـرونـونـ فيـ الجـزـيـئـةـ .
- 12- حـاسـبـ الـأـلـفـةـ الـإـلـكـتروـنـيـةـ energy discharge عندـ اـضـافـةـ الـأـلـكـتروـنـونـ إـلـىـ الجـزـيـئـةـ لـتـكـوـينـ اـيـونـ سـالـبـ الشـحـنـةـ وـكـمـاـ يـلـيـ: (12)
- $$M + e^- \rightarrow M^- + \text{energy}$$

البرـنـامـجـ الـذـيـ تمـ استـخدـامـهـ فـيـ هـذـاـ الـبـحـثـ:

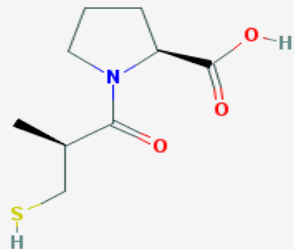
هو برنـامـجـ حـاسـبـيـ قـويـ يـسـمحـ بـبـنـاءـ النـمـاذـجـ لـلـمـرـكـباتـ الـعـضـوـيـةـ الـمـخـلـفـةـ مـنـ هـذـهـ الـمـرـكـباتـ سـنـكـونـ قـادـرـينـ عـلـىـ قـيـاسـ الـخـواـصـ الـجـزـيـئـيـةـ الـمـخـلـفـةـ مـثـلـ زـوـاياـ الـأـوـاـصـرـ وـحـرـارـةـ التـكـوـينـ.....الـخـ.

يـسـمحـ بـوـجـودـ اـسـتـدـلـالـاتـ حـولـ الـاسـتـقـارـ الـجـزـيـئـيـ وـالـفـعـالـيـةـ الـجـزـيـئـيـةـ.ـ هـذـاـ بـرـنـامـجـ قـادـرـ عـلـىـ حـاسـبـ طـاقـةـ الـكـامـنـةـ لـلـسـطـوـحـ الـتـيـ تـكـسـوـ الـجـزـيـئـاتـ وـيـمـكـنـ بـهـذـاـ بـرـنـامـجـ حـاسـبـ أـدـنـىـ طـاقـةـ لـلـجـزـيـئـةـ باـسـتـخـدـامـ مـخـلـفـ الـطـرـائـقـ الـحـاسـبـيـةـ ،ـ وـيـتـضـمـنـ نـسـخـاـ عـدـدـ وـهـيـ 6.2ـ Hyper Chemـ 7.2ـ Hyper Chemـ 8.0ـ Hyper Chemـ 8.0ـ .ـ وـالـبـرـنـامـجـ الـذـيـ تمـ استـخدـامـهـ فـيـ هـذـاـ الـبـحـثـ هوـ Hyper Chemـ 8.0ـ .ـ (13)

مواصفـاتـ الـحـاسـبـيـةـ الـمـسـتـخـدـمـةـ:

System: Windows 2010	Hard disk : 464 GB	CPU : 1.70GH +2.40GHz	RAM: 4GB
			Captopril دـوـاءـ

يـنـتـمـيـ إـلـىـ فـئـةـ مـنـ الـاـدـوـيـةـ تـسـمـيـ مـثـبـطـاتـ الـانـزـيمـ الـمـحـولـ لـلـأـنجـيوـتنـسـينـ ،ـ أوـ مـثـبـطـاتـ ACEـ قدـ تـمـ وـصـفـهـ لـلـحـدـ مـنـ أـرـتـقـاعـ ضـغـطـ الدـمـ ،ـ أوـ لـحـمـاـيـةـ الـقـلـبـ وـالـأـوـعـيـةـ الـدـمـوـيـةـ مـنـ الـمـزـيدـ مـنـ الـضـرـرـ أـثـرـ الـاـصـابـةـ بـأـزـمـةـ قـلـبـيـةـ ،ـ أوـ لـحـمـاـيـةـ الـكـلـيـتـيـنـ لـدـىـ مـرـضـيـ السـكـرـيـ .ـ (14)

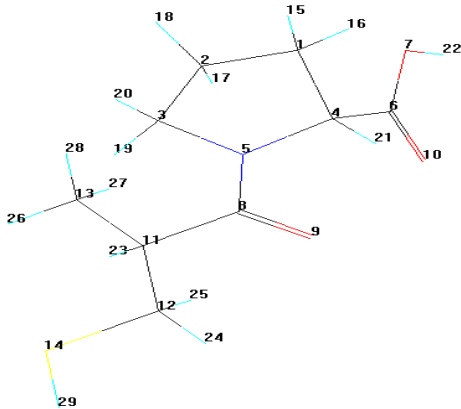


شكل (1) جزيء دواء Captopril

Chemical Names:	Captopril; Capoten; Cesplon; Lopirin; L-Captopril
Molecular Formula:	$C_9H_{15}NO_3S$
Molecular Weight:	217.2853 g/mol

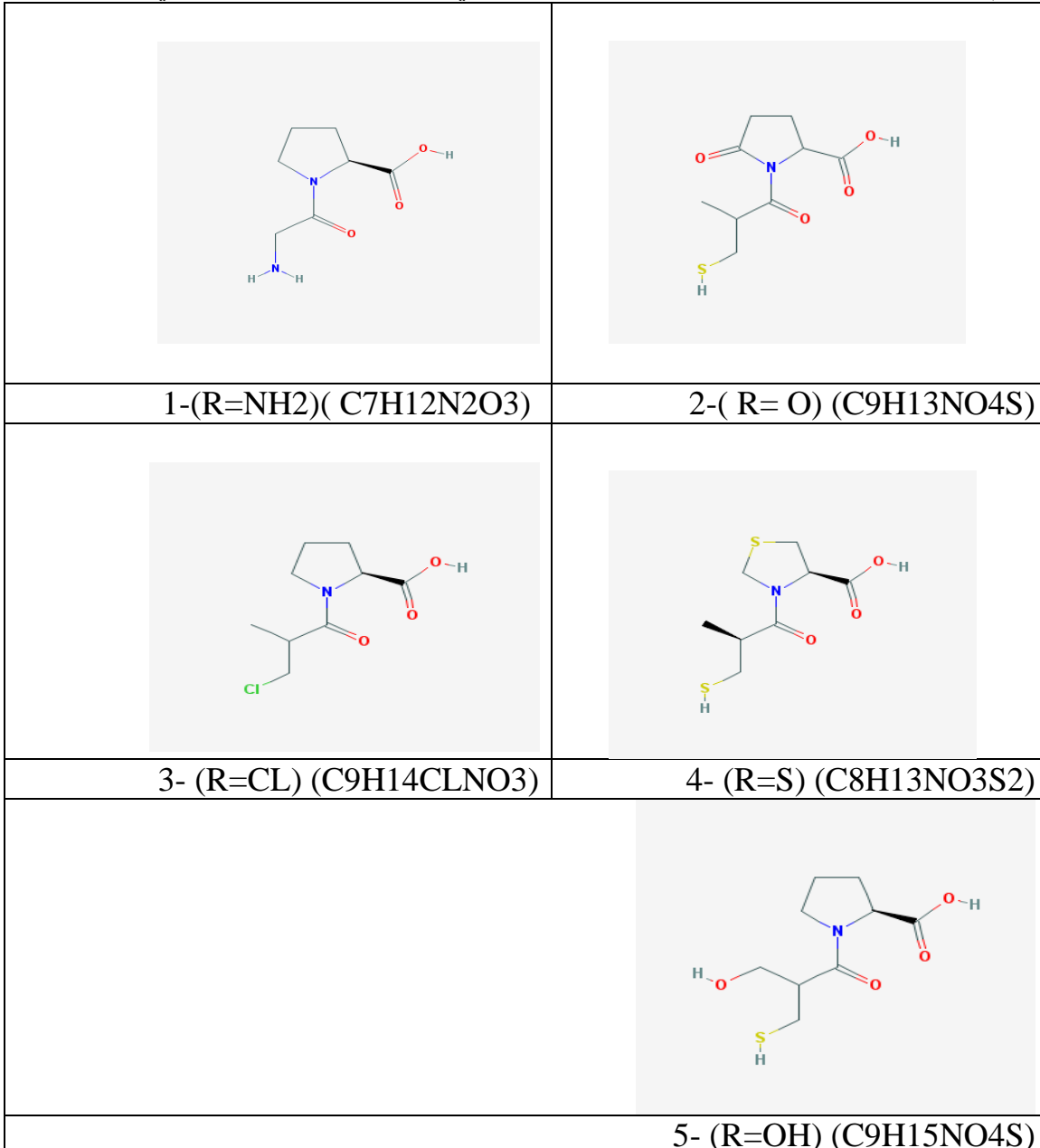
تم في هذا البحث حساب ميكانيك الكم باستخدام الطريقة شبه التجريبية (AM1، PM3) للتنبؤ بالخصائص الفيزيائية للكابتوبريل ومشتقاته لاستخدام هذه الخصائص كعوامل ارتباط لتأهيل الأدوية المحتملة.

دراسات سابقة أنه تم استخدام طريقة (AM1) لحساب الشكل الهندسي التوازن لمشتقات مثبطات فيروس (HIV-1) والخواص الفيزيائية الأخرى لإظهار كفاءة الأدوية (15). تم استخدام برنامج Hyper Chem. 8.08 وباستخدام الطريقة شبه التجريبية (AM1-PM3) في حساب الخصائص الفيزيائية لدواء الامبسيلين ومشتقاته. (16)



شكل (2) يوضح رسم الصورة الأولية للشكل الهندسي الفراغي لدواء Captopril ($C_9H_{15}NO_3S$)

وقد تم تحضير عدد من مشتقـات هـذـا المـرـكـب المـوـجـودـة فـي أـدـبـاتـ النـسـر⁽¹⁷⁾ وـكـماـ يـليـ:



شكل (3) : يوضح أشكال مشتقـات دـوـاء Captopril

النتائج والحسابات :

تم في هذا البحث دراسة بعض الصفـات الفـيـزـيـائـية لـدوـاء Captopril وبـعـضـ منـ مشـتقـاتهـ الغـيرـ مـدـرـوـسـةـ نـظـرـيـاـ ، وبـاستـخدـامـ طـرـيقـيـ الحـاسـبـ (AM1- PM3) ، ثـمـ تمـ رـسـمـ الصـورـةـ الأـولـيـةـ لـلـشـكـلـ الـهـنـدـسـيـ الفـرـاغـيـ لـجـزـيـةـ الدـوـاءـ ، وـمـنـ ثـمـ تـخـفـيـضـ الطـاقـةـ (minimization) بـغـيـةـ حـاسـبـ الشـكـلـ الـهـنـدـسـيـ التـواـزـنـيـ (Equilibrium geometry)ـ.ـوكـذـلـكـ تمـ حـاسـبـ تـرـددـاتـ



الأهتزاز (Fundamental vibration)، وشدة امتصاص طيف الأشعة تحت الحمراء عند الشكل الهندسي التوازني لهذه المشقات . بالإضافة إلى حدود طاقية وقيم فيزيائية أخرى. كذلك تم حساب عزم ثنائي القطب ، وطاقة التأين ، وطاقة أعلى مدار محجوز بالألكترونات EHOMO وطاقة أوطىء مدار غير محجوز بالألكترونات ELUMO والفرق الطaci بينهما ، وباستخدام طرق الحساب (AM1، PM3) وبالاعتماد على برنامج الحساب Hyper Chem. 8.08.

حساب الشكل الهندسي التوازني:

تم رسم الصورة الأولية للشكل الهندسي الفراغي لجزئية دواء Captopril باستخدام برنامج الحساب Hyper Chem. 8.08 ، ومن ثم تم تخفيض الطاقة (minimization) بغية حساب الشكل الهندسي التوازني (Equilibrium geometry) للدواء، مع استخراج الانترولي (Entropy) ، بالإضافة إلى حدود طاقية وقيم فيزيائية أخرى كالسعة الحرارية (Heat Capacity) ، والطاقة الكلية Total Energy ، والطاقة الحرية (Free Energy) وذلك باستخدام طريقة الحساب شبه التجريبية (Energy) (PM3,AM1) لدواء Captopril كما في الجدول (1). القيمة السالبة العالية للطاقة المختلفة للدواء ومشقاته تبين بأنها أكثر إستقرارية. إذ إن المشتق ($R=O$) هو الأكثر إستقرارية (64229.7-69385.2 -) من المشقات الأخرى ومن الدواء الأساس . كذلك تم حساب عزم ثنائي القطب Dipole Moment (Dipole Moment) الذي هو مجموع عزوم الاواصر الجزيئية . وعزم ثنائي القطب يستخدم لقياس قطبية الجزيئية . وقد تم حساب Dipole Moment لدواء Captopril (Dipole Moment) باستخدام الطريقة شبه التجريبية (PM3,AM1)، وكانت القيم تساوي (3.28, 3.73 Debyes) على التوالي لدواء Captopril ، وكانت نتائج الطريقتين بصورة عامة متقاربة، وتبيّن بأن المشتق الأكثر قيمة هو أكثر قطبية وبالتالي أسرع تفككا، ولذلك فيجب أن يكون المشتق نسبياً مقارب لقطبية الدواء لكي يكون من الممكن استخدامه كدواء إذ إن تفكك الدواء بصورة سريعة يؤدي إلى الفائدة منه كعقار . إن الفرق لقيمة عزم ثنائي القطب بين الطريقتين (PM3, AM1) يعود على وضع الشكل الهندسي التوازني للطريقتين ، وكذلك لأهمال بعض القيم لطريقة على حساب الآخر. وتبيّن نتائج العزوم للمشتقات بأن القطبية لمعظم المشقات تختلف بصورة ظاهرة عن الدواء أما بزيادة القطبية أو بإيقافها ماعدا المشتقات ($R=OH$), ($R=OH$) إذ أن القطبية ظهرت مقاربة للدواء الأصلي هذا مما يعطيها أرجحية بأمكانية استخدامها كدوائين.



جدول (1) يوضح بعض الخواص الفيزيائية لدواء Captopril، ومشتقاته عند الشكل الهندسي التوازني، وباستخدام طريقي (AM1 ، PM3)

		Total Energy (Kcal/mol)		Entropy (Kcal/mol/deg)		Free Energy (Kcal/mol/deg)		Heat Capacity (Kcal/mol/deg)		Dipole moment (debyeS)	
		PM3	AM1	PM3	AM1	PM3	AM1	PM3	AM1	PM3	AM1
1-	Capt opirl	-58152.2	-62629.2	0.1375	0.1375	-58194.8	-62671.9	0.05851	0.0585	3.28	3.73
2-	NH2	-51087.7	-56082.3	0.1061	0.1095	-51120.6	-56116.2	0.04308	0.0422	5.20	4.41
3-	O	-64229.7	-69385.2	0.1123	0.1270	-64264.5	-69424.4	0.04222	0.0550	3.22	3.46
4-	CL	-60818.9	-66455.5	0.1251	0.1206	-60857.7	-66492.9	0.05411	0.0490	4.39	4.86
5-	S-	-59005.5	-63533.6	0.1243	0.1243	-59044	-63572.1	0.05481	0.0548	1.44	1.44
6-	OH	-61490.5	-66444.1	0.1275	0.1275	-61530.1	-66483.7	0.0550	0.0550	3.33	3.57

حساب اطوال أواصر دواء Captopril وبعض مشتقاته

تم في هذا البحث إستخراج اطوال الأواصر لجزئية دواء Captopril على وفق طريقة الحساب شبه التجريبية Semi empirical (AM1 ، PM3) على التوالى و مجموعة من مشتقاته الغير مدرورة نظرياً عند الشكل الهندسي التوازني كما مبين في الجدول (2)، إذ وجد وبصورة عامة تقارب اطوال الأواصر لهذه المشتقات مع بعضها البعض، لأن تكون أقصر بقليل أو أطول بقليل مما يدل على تقارب ثوابت القوى .

جدول (2) يوضح حساب اطوال الأواصر لدواء Captopril ، ومشتقاته عند الشكل الهندسي التوازني ، وباستخدام طريقة الحساب شبه التجريبية (PM3,AM1)



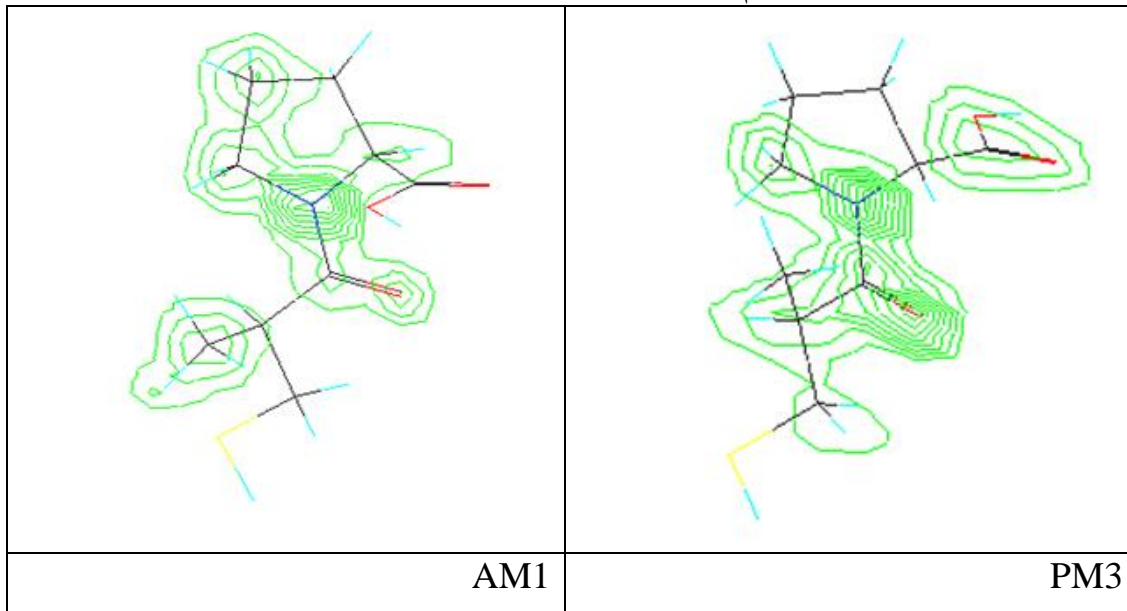
المؤتمر العلمي السنوي الثالث والعشرون الموسوم
مـؤـتـمـر كـلـيـة التـرـيـة الـاسـاسـيـة فـي مـجـال العـلـوـم الـصـرـفـة
وـالـمـعـدـتـهـ تـحـ شـعـارـ (ـبـالـبـحـثـ الـعـلـمـيـ الرـصـينـ نـرـتـقـيـ وـتـعـلـمـ وـنـقـدمـ)
لـلـمـدـدـةـ 2024/4/30ـ2ـ9ـ

	Bond Length (Å)												
	Description	Captopril		NH2		O		CL		S-		OH	
		PM3	AM1	PM3	AM1	PM3	AM1	PM3	AM1	PM3	AM1	PM3	AM1
1-	C1-C2	1.526	1.522	1.521	1.527	1.522	1.527	1.523	1.525	1.523
2-	C1-C3	1.536	1.548	1.534	1.550	1.539	1.548	1.535	1.548	1.532	1.532	1.536	1.545
3-	C2-C4	1.522	1.537	1.525	1.542	1.515	1.521	1.525	1.573	1.526	1.538
4-	C3-C5	1.490	1.453	1.500	1.450	1.510	1.465	1.491	1.452	1.503	1.457	1.501	1.461
5-	C4-C5	1.488	1.449	1.501	1.450	1.453	1.417	1.488	1.448	1.485	1.438	1.493	1.461
6-	C3-C6	1.523	1.519	1.521	1.524	1.524	1.521	1.526	1.519	1.527	1.523	1.524	1.518
7-	C6-O7	1.355	1.359	1.354	1.359	1.355	1.363	1.351	1.359	1.354	1.362	1.354	1.361
8-	C6=O8	1.215	1.233	1.215	1.232	1.216	1.230	1.127	1.232	1.217	1.232	1.215	1.232
9-	C5-C9	1.422	1.388	1.447	1.378	1.455	1.409	1.418	1.383	1.448	1.402	1.438	1.396
10-	C9=O10	1.222	1.246	1.216	1.247	1.217	1.242	1.221	1.247	1.217	1.243	1.215	1.240
11-	C9-C11	1.529	1.526	1.520	1.535	1.528	1.525	1.527	1.527	1.533	1.525	1.546	1.537
12-	C11-C12	1.526	1.516	1.531	1.520	1.521	1.520	1.525	1.517	1.536	1.520
13-	C12-S13	1.828	1.774	1.831	1.771	1.828	1.773	1.824	1.767
14-	C11-C14	1.525	1.516	1.522	1.151	1.520	1.514	1.522	1.514
15-	C1-H15	1.103	1.115	1.104	1.117	1.108	1.118	1.104	1.115	1.106	1.116	1.106	1.114
16-	C1-H16	1.107	1.119	1.108	1.115	1.104	1.116	1.105	1.117	1.105	1.115	1.107	1.119
17-	C2-H17	1.106	1.117	1.105	1.116	1.106	1.115	1.106	1.116	1.106	1.118
18-	C2-H18	1.104	1.117	1.104	1.117	1.109	1.118	1.105	1.115	1.104	1.114
19-	C3-H19	1.120	1.134	1.120	1.129	1.123	1.132	1.120	1.129	1.122	1.137	1.120	1.135
20-	C4-H20	1.113	1.126	1.105	1.128	1.114	1.124	1.106	1.119	1.106	1.125
21-	C4-H21	1.107	1.125	1.110	1.122	1.115	1.123	1.112	1.119	1.106	1.125
22-	O7-H22	0.949	0.974	0.954	0.972	0.950	0.971	0.950	0.972	0.952	0.974	0.953	0.973
23-	C11-H23	1.121	1.120	1.115	1.127	1.122	1.129	1.120	1.126	1.120	1.127	1.123	1.129
24-	C12-H24	1.105	1.118	1.105	1.117	1.106	1.115	1.107	1.117	1.105	1.118
25-	C12-H25	1.105	1.117	1.107	1.118	1.105	1.115	1.108	1.118	1.105	1.116
26-	S13-H26	1.306	1.318	1.307	1.371	1.308	1.322	1.311	1.317
27-	C14-H27	1.098	1.118	1.102	1.119	1.098	1.117	1.098	1.119
28-	C14-H28	1.098	1.116	1.098	1.115	1.098	1.117	1.097	1.116
29-	C12-N	1.476	1.434
30-	N-H	0.997	1.001
31-	C4=O	1.211	1.233
32-	C-CL	1.781	1.755
....	1.822	1.777
....	1.826	1.803
....	0.950	0.970		

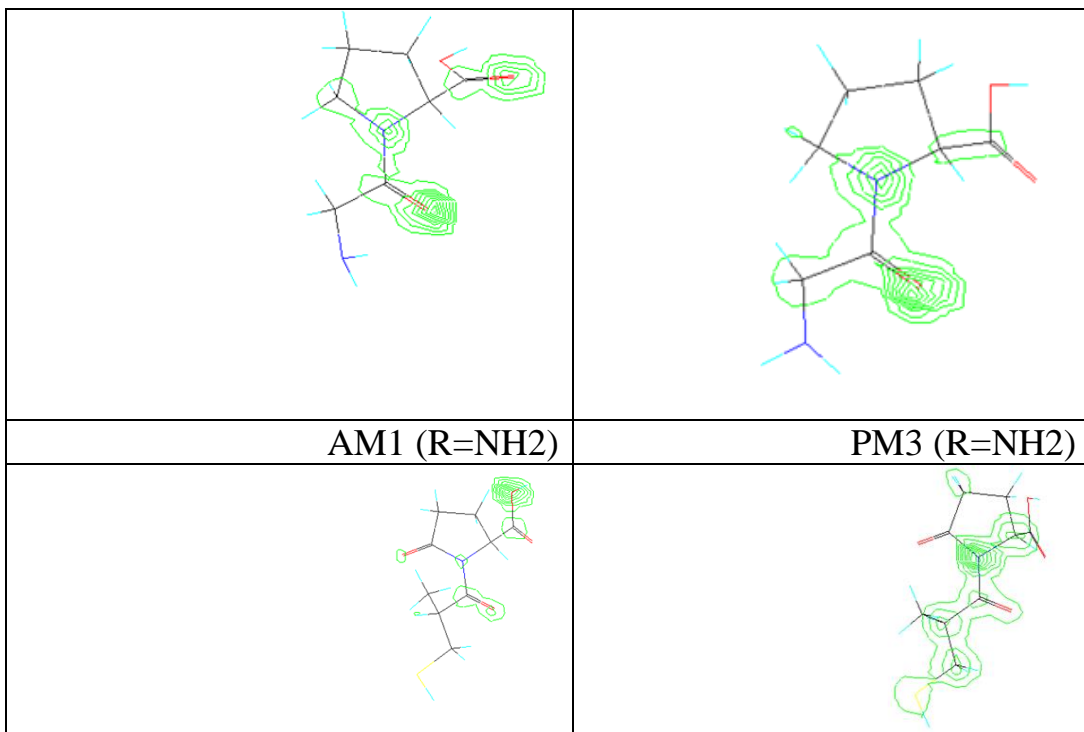
حساب الشحنة الذرية

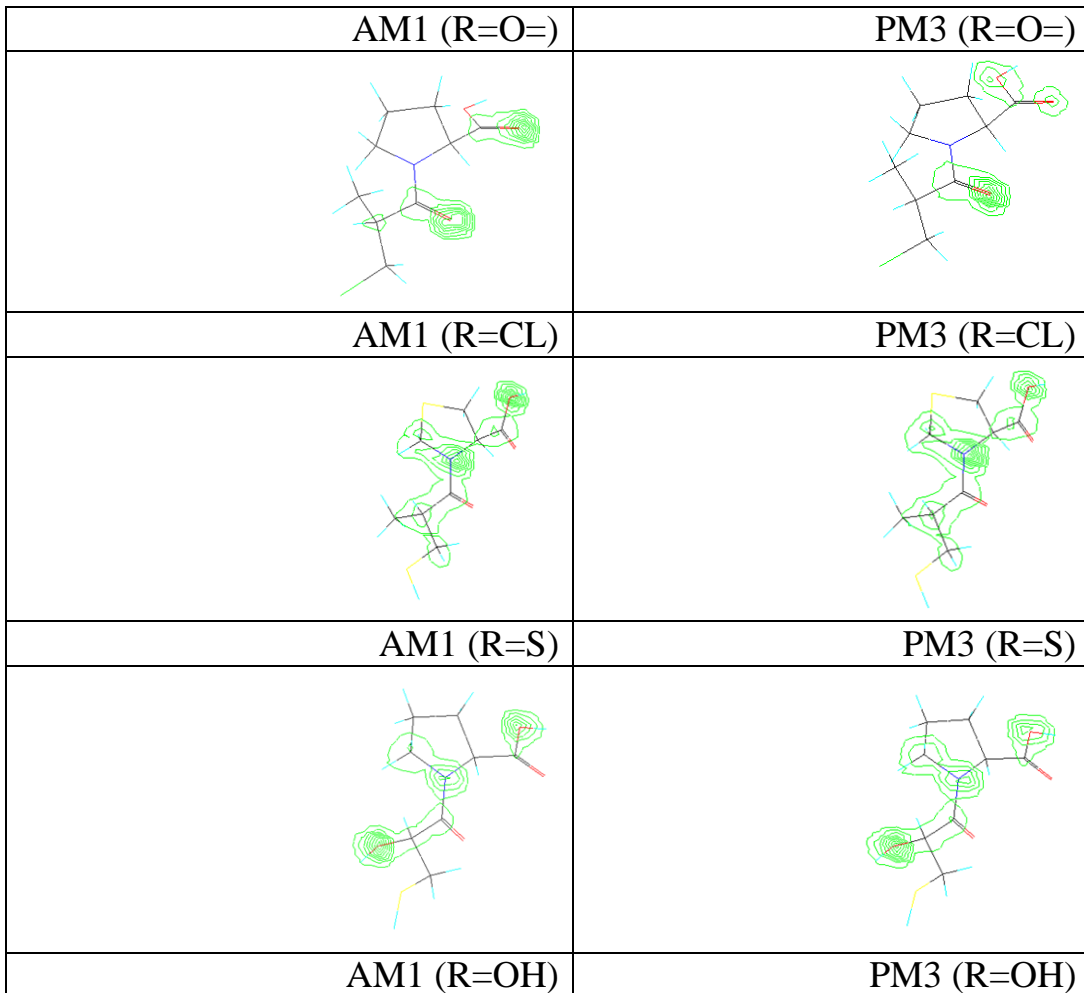
التحليل في الكيماء الحاسوبية يعتمد على الشحنة الذرية في دراسة الجزيئات. أن توزيع الشحنة الذرية له تأثير كبير على (Electrostatic Potential ,Dipole Moment ,and Theoretical absorption spectra) (3) يبين توزيع الشحنة لكل ذرة في جزيء دواء Captopril على Hyper Chem. 8.08 ومجموعة من مشتقاته الغير مدرستة نظرياً؛ وذلك باستخدام برنامج Captopril CL وفق الطريقة شبه التجريبية (PM3,AM1) ، وجد أن جميع ذرات الهيدروجين تحمل شحنة موجبة تكون سالبة الشحنة، وكذلك النيتروجين يحمل شحنة سالبة ، وذرة الكلور تكون سالبة الشحنة، والأوكسجين أيضاً يكون سالب الشحنة، وكانت نتائج الطريقتين متقاربة أو متطابقة لحساب الشحنة الذرية . إن حساب الشحنة الذرية للمركبات بصورة عامة يوضح مدى فعالية

المركب، والموقع الفعالة (Active Site) في المركب إذ إن زيادة الشحنة الذرية بالقيمة السالبة أو الموجبة يؤشر زيادة فعالية هذه الذرة .
ان النتائج تؤشر بأن أعلى فعالية هي في الذرات N5, O7,O8,O10 أي ذرات التتروجين، والأوكسجين بصورة خاصة لمعظم المشتقات .



شكل (4) يوضح كثافة الشحنة الكلية لدواء Captopril على وفق نموذجي (PM3,AM1)





شكل (5) يوضح كثافة الشحنة الكلية لمشتقات دواء Captopril على وفق نموذجي (PM3, AM1)

جدول (4) يوضح حساب Atoms charge لدواء Captopril، ومشتقاته عند الشكل الهندسي التوازي، وباستخدام طريقتي (AM1 ، PM3)

Atoms	Atoms charge											
	Captopril		NH2		O		CL		S-		OH	
	PM3	AM1	PM3	AM1	PM3	AM1	PM3	AM1	PM3	AM1	PM3	AM1
1. C1	-0.100	-0.162	-0.110	-0.162	-0.108	-0.169	-0.102	-0.162	-0.191	-0.280	-0.104	-0.166
2. C2	-0.102	-0.170	-0.107	-0.170	-0.131	-0.188	-0.100	-0.170	-0.108	-0.175
3. C3	-0.020	-0.044	-0.024	-0.046	-0.036	-0.028	-0.014	-0.048	-0.030	-0.028	-0.028	-0.019
4. C4	-0.058	-0.020	-0.065	-0.019	0.286	0.316	-0.056	-0.019	-0.159	-0.133	-0.064	-0.040
5. N5	-0.067	-0.322	-0.081	-0.333	-0.103	-0.348	-0.066	-0.330	-0.069	-0.319	-0.080	-0.308
6. C6	0.375	0.298	0.377	0.288	0.368	0.292	0.373	0.299	0.372	0.297	0.372	0.301
7. O7	-0.302	-0.307	-0.306	-0.311	-0.308	-0.320	-0.296	-0.306	-0.308	-0.316	-0.301	-0.312
8. O8	-0.375	-0.348	-0.373	-0.353	-0.371	-0.328	-0.382	-0.350	-0.376	-0.337	-0.379	-0.343
9. C9	0.258	0.313	0.259	0.268	0.292	0.324	0.264	0.313	0.271	0.316	0.254	0.305



10 .	O10	-0.369	-0.356	-0.326	-0.372	-0.340	-0.322	-0.371	-0.359	-0.343	-0.341	-0.323	-0.319
11 .	C11	-0.069	-0.100	-0.126	-0.087	-0.057	-0.089	-0.107	-0.121	-0.068	-0.097	0.078	0.029
12 .	C12	-0.166	-0.248	-0.175	-0.257	-0.067	-0.110	-0.172	-0.253	-0.223	-0.301
13 .	S13	-0.029	-0.035	-0.019	-0.021	-0.017	-0.024	-0.014	-0.019
14 .	C14	-0.133	-0.216	-0.130	-0.218	-0.126	-0.216	-0.136	-0.224
15 .	H15	0.067	0.107	0.065	0.103	0.065	0.103	0.068	0.107	0.090	0.121	0.064	0.103
16 .	H16	0.071	0.105	0.084	0.107	0.089	0.131	0.069	0.105	0.120	0.156	0.077	0.116
17 .	H17	0.058	0.101	0.055	0.095	0.092	0.131	0.058	0.096	0.050	0.094
18 .	H18	0.065	0.094	0.066	0.101	0.090	0.133	0.065	0.101	0.066	0.103
19 .	H19	0.099	0.137	0.093	0.156	0.116	0.157	0.101	0.137	0.126	0.169	0.105	0.142
20 .	H20	0.068	0.086	0.065	0.092	0.066	0.091	0.095	0.120	0.062	0.097
21 .	H21	0.052	0.092	0.049	0.088	0.053	0.086	0.097	0.120	0.070	0.107
22 .	H22	0.224	0.242	0.228	0.242	0.231	0.248	0.226	0.243	0.233	0.249	0.226	0.243
23 .	H23	0.093	0.121	0.045	0.114	0.112	0.145	0.088	0.118	0.097	0.125	0.076	0.107
24 .	H24	0.083	0.128	0.096	0.114	0.078	0.121	0.091	0.121	0.107	0.138
25 .	H25	0.096	0.113	0.080	0.112	0.081	0.127	0.088	0.121	0.102	0.139
26 .	H26	0.005	0.038	0.001	0.036	0.006	0.040	0.004	0.037
27 .	H27	0.068	0.102	0.048	0.105	0.061	0.097	0.078	0.114
28 .	H28	0.055	0.090	0.072	0.082	0.057	0.093	0.057	0.092
29 .	H29	0.054	0.082	0.062	0.099	0.053	0.083	0.048	0.079
30 .	N-	-0.018	-0.322
31 .	O=	-0.324	-0.308
32 .	CL	-0.073	-0.121
33 .	S-	-0.004	-0.054
34 .	O-										-0.304		-0.316

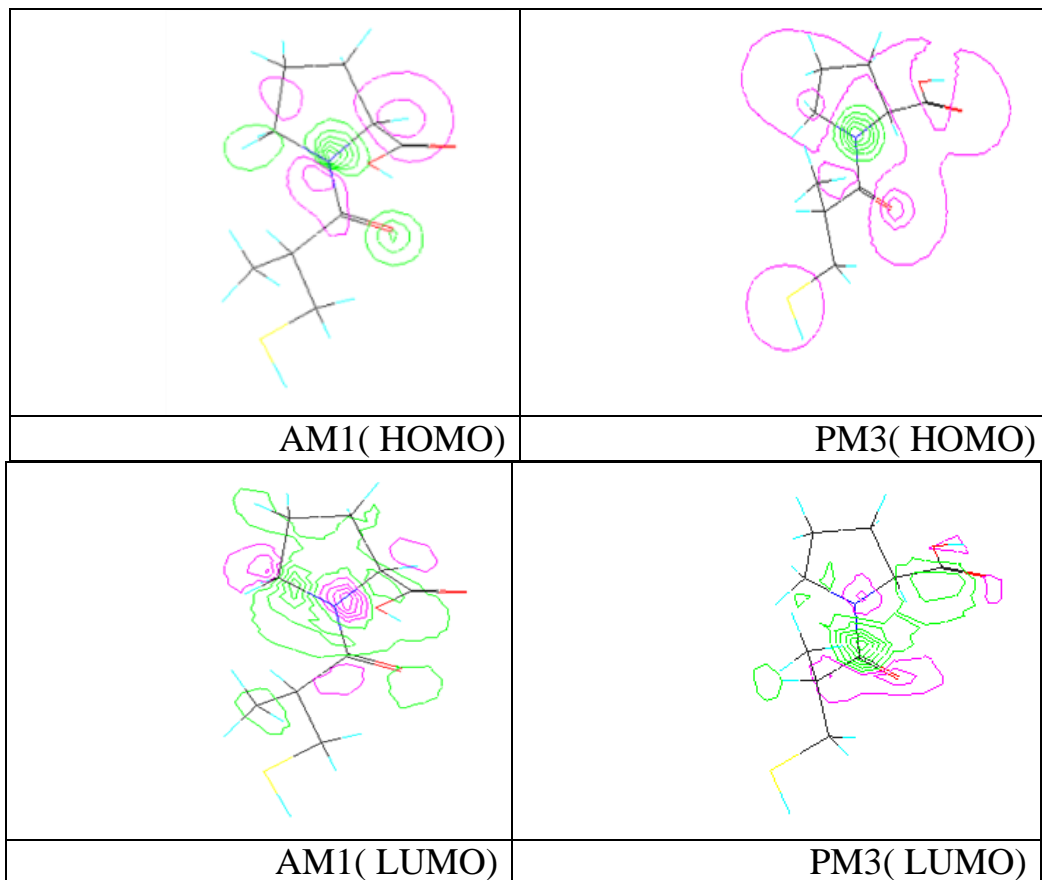
حساب Potential Molecular Electrostatic (PEM)

تم في هذا البحث ايجاد قيم الطاقة للمدارات (Orbitals) المشغولة ، وغير مشغولة بالألكترونات وذلك من خلال برنامج Hyper Chem. 8.08، وبطريقة شبة التجريبية (PM3, AM1) كما مبين في الجدول (5) . وبعد الحصول على أفضل وضعية للجزئية عندما تمتلك أقل طاقة كلية ، وتكون أكثر إستقراراً (عند وضع الإنزان) بعد رسمها بواسطة البرنامج نحصل على المدارات الجزئية ، والقيمة الطاقية لكل مدار إذ يمثل HOMO أعلى مدار جزيئي مشغول بالألكترونات ومقدار طاقته ، ويمثل LUMO ، ولقد وضحت هذه المدارات ببعد (2D) ببرنامج Hyper Chem. 8.08 كما موضح في الشكل

(6) . و جاءت نتائج الطريقيتين غير مطابقة لبعض المشتقـات، وهذا يعود الى الحالة الطـاقـية التي تصنـعـها الطـرـيقـة المستـخـدمـة . ولكن الـقـيم لـلـفـرق بـيـنـ الطـاقـتـيـن مـنـطـابـقـة، ولـلـطـرـيقـتـيـن وـهـذـا يـؤـشـر سـبـبـ كـوـنـ التـرـدـدـاتـ العـالـيـةـ فيـ طـيـف UV-Vis ، وـذـلـكـ لـحـاجـةـ المـرـكـبـ لـطاـقـةـ أـعـلـىـ لـلـإـنـتـقـالـ منـ مـسـتـوـىـ إـلـيـ آخرـ .

جدول (5) يوضح الفرق بين طـاقـةـ أـعـلـىـ مـدارـ وـطـاقـةـ أـوـطـيـءـ مـدارـ لـدوـاء Captopril ، وـمـشـتـقـاتـهـ عندـ الشـكـلـ الـهـنـدـسـيـ التـواـزـنـيـ، وـبـاستـخـدـامـ طـرـيقـيـ (AM1, PM3) .

		E Homo (ev)		E LUMO (ev)		ELUMO – E HOMO	
		PM3	AM1	PM3	AM1	PM3	AM1
1-	Captopr il	-9.929757	-9.95761	0.579527	1.00068	10.509284	10.95829
2-	NH2	-9.672449	-10.10844	0.962042	1.08980	10.634491	11.19824
3-	O	-9.4951	-10.80106	0.186862	0.366886	10.681962	11.167946
4-	CL	-10.55526	-11.01628	0.653865	0.813407	11.209125	11.829687
5-	S-	-9.402848	-9.115737	0.036009	0.39329	9.438857	9.509027
6-	OH	-9.893712	0.542249	0.10118	0.740073	9.994892	0.197824





شكل (6) يوضح (HOMO , LUMO) لدواء Captopril على وفق نموذجي (PM3,AM1)
حساب جهد التأين Ionization Energy
إن طاقة التأين ترتبط بعلاقة مع طاقة أعلى اوربتال مماثلة بالألكترونات (EHOMO)
وكما يلي :⁽¹⁸⁾

$$\text{IE} = - \text{EHOMO}$$

إن القيمة العالية لجهد التأين (IE) تعني استقرارية عالية لالجزئية ، ومن ناحية أخرى فإن طاقة التأين المنخفضة تعني فعالية عالية لالجزئية . وتزداد كفاءة الجزئية (العقار) نسبة إلى انخفاض طاقة التأين لها. لقد تم حساب طاقة التأين لدواء Captopril ومجموعة من مشتقاته الغير مدرosa نظريا باستخدام برنامج Hyper chem. 8.08 على وفق طرق الحساب شبه التجريبية (PM3 AM1) كما في الجدول (6) . وقد وجد إن المشتق ($R=CL$) له أعلى جهد تأين ، لهذا تقل كفاءته (العقار) نسبة إلى أرتفاع طاقة التأين له حسب طريقة الحساب PM3 التي تكون أكثر دقة من طريقة الحساب AM1 .

جدول (6) يوضح جهد التأين لدواء Captopril ومشتقاته

	Ionization Potential (ev)	
	PM3	AM1
Captopril	9.75162	9.95761
NH2	9.89120	10.10844
O	9.4951	10.80106
CL	10.55526	11.01628
S-	9.402848	9.115737
OH	9.893712	0.542249

حساب الألفة الألكترونية Electron affinity

إن طاقة الألفة الألكترونية تعطى بالمعادلة :⁽¹⁹⁾

$$EA (\text{Electron affinity}) = - ELUMO$$

إن القيمة العالية لطاقة الألفة الألكترونية تعني استقرارية أقل وبالتالي تؤدي إلى كفاءة أعلى لجزئية للإرتباط وطاقة الألفة الألكترونية المنخفضة تعني استقرارية عالية وكفاءة قليلة . تم حساب طاقة الألفة الألكترونية لدواء Captopril ، ومجموعة من مشتقاته الغير مدرosa نظريا باستخدام برنامج Hyper chem. 8.08 على وفق طرق الحساب شبه التجريبية (PM3 , AM1) كما في الجدول (7) . وجد ان المشتق ($R=NH2$) له أقل طاقة للألفة الألكترونية ، أي استقرارية عالية وكفاءة قليلة (العقار). حسب طريقة الحساب PM3 التي تكون أكثر دقة من طريقة الحساب AM1 .



جدول (7) يوضح الألفة الإلكترونية لدواء Captopril ومشقاته

	Electron affinity (ev)	
	PM3	AM1
Captopril	-0.678281	-1.00068
NH2	-0.863413	-1.08980
O	-0.186862	-0.366886
CL	-0.653865	-0.813407
S-	-0.036009	-0.39329
OH	-0.10118	-0.740073

References

1. J Cramer ,Essentials of computational Chemistry,2nd ed. John Wiley & Sons, inc: England,2004.
2. D. Young "Computational Chemistry: A Practical Guide for Sons , 2001, p(1,3,15,21,22,28,31,37,42).
3. P. W. Atkins, R. S. Friedma "Molecular Quantum Mechanics" Oxford(1997).
4. J. H. Krieger, C & E News, May 12(1997), pp 30.
5. E. K. Wilson, C & E News April 27(1998) , pp 31.
6. F. Jensen, Introduction to computational Chemistry, 2nd ed.; John Wiley&Sons, inc: England, 2007, p(1,2,80,98-149,469).
7. B. Lynch and P. Fast, "Introduction To Computation Chemistry", 2nd ed. Cambridge (2005),Chapter 11, p 323.
8. M. C.Zerner, K. B. Lipkowitz and D. B. Boyd , In Reviews in Computational, New York, Vol. 2, pp. 313(1991).
9. Kahn, UC Santa Barbara, Department of Chemistry and Biochemistry (2007)
10. T. Pilipenco, V. A. Zaets, E. R. Falendysh and Y. I. Gorly, Theoretical and Experimental Chemistry,Vol. 24, No.6 , (1988) .
11. Sandip K. Rajak, Nazmul Islam, Dulal C. Ghosh, . " Modeling of the Chemico-Physical Process of Protonation of Molecules Entailing Some Quantum Chemical Descriptors ". Journal of Quantum Information Science, 2011,vol. (1),P - 87-95 .
12. Mohamed K. Awada, Mohamed R. Mustafab, Mohamed M. Abo Elnga, "Computational simulation of the molecular structure of some



- triazoles as inhibitors for the corrosion of metal surface". *Journal of Molecular Structure*: , 15 November 2010, Vol. 959, PP : 66–74
13. Hyper Chem. 7.5 Feature Summary 2003. Hyper Cube , In URL-<http://www.hyper.com>
14. Walker, S. R. (2012). *Trends and Changes in Drug Research and Development*. Springer Science & Business Media. p. 109. ISBN 9789400926592
- 15 . soto-morales, francisco Y gomez-jeria, juan s." A theoretical study of the inhibition of wild-type and drug-resistant htv-1 reverse transcriptase by some thiazolidene benzene sulfon amide derivatives". j. cHIL. cHEM. sOC. .
- 16 . Rehab M. Kubba, and .2007, Vol.52, N.3, PP.1214-1219
- Ali Abdul Sallam "Quantum Mechanical Calculations of R-O Journal of Science, 2013, Vol 54, No.4, pp:739-752
17. <https://pubchem.ncbi.nlm.nih.gov/compound/44093>
18. Sandip K. Rajak, Nazmul Islam, Dulal C. Ghosh, . " Modeling of the Chemico-Physical Process of Protonation of Molecules Entailing Some Quantum Chemical Descriptors ". Journal Quantum Information Science, 2011,vol. (1),P - 87-95
19. Mohamed K. Awada, Mohamed R. Mustafab, Mohamed M.Abo Elnga, "Computational simulation of the molecular structure of some triazoles as inhibitors for the corrosion of metal surface". *Journal of Molecular Structure*: , 15 November 2010, Vol. 959, PP : 66–74
- Theoretical study of Captopril Derivatives as a possible drugs by using Quantum mechanics methods**

Abstract

The project concern with using of Quantum mechanics Calculation methods Semi – empirical (AM1, PM3) methods by using the program Hyper chem. 8.08 to calculate the equilibrium geometrical structure of the drugs. Captopril and it's derivatives (R= -NH₂, -O, -CL, -S, -OH)

Which are yet unused as a drugs .The physical properties of the drugs and it's derivatives Were calculate at their equilibrium geometrical structure as total energy entropy , free energy , heat capacity, dipole moment, EHOMO, ELOMO, Electronic energy, Nuclear energy, Ionization energy, Electron affinity and the IR, UV-Vis spectra . The theoretical results showed that energy of the derivatives (- OH, - O) Were similar to that of the drug and both have an ionization energy similar to that the drug, this result was improved by the similar polarity of the drug and derivatives.